

Переменные звезды 21, №2, 227–235, 1979.
Variable Stars 21, No 2, 227–235, 1979

Фотоэлектрические наблюдения затменияй переменной EY Ориона

М.М. Закиров

Данная работа является продолжением исследования тесной двойной системы EY Ori, входящей в Большую туманность Ориона. В 1976–78 гг. автор провел фотоэлектрические UBVR наблюдения EY Ori и получил 200 точек в U, 246 в B, 221 в V и 224 в R. По результатам фотоэлектрических наблюдений улучшен период EY Ori ($P=16.787832$). Продолжительность затмения в главном минимуме составляет $D=0^{\text{h}}056$, а величина $f=0^m003$. Определены амплитуды изменения блеска системы в V (9^m47-10^m01) и показатели цвета (U-V, B-V, V-R) вне затмения и в главном минимуме. Кривая блеска EY Ori в системе V, решена методом Ресселла–Меррилла с коэффициентом потемнения $x=0.5$. Абсолютные звездные величины компонентов EY Ori определены в предположении нормального закона поглощения ($R=3.2$) и оказались равными $M_1=+0.9$ V и $M_2=+0.5$ V. Оценены абсолютные размеры звезд ($R_1=3.4 R_\odot$ и $R_2=4.5 R_\odot$) и массы компонентов ($\mathfrak{M}_1=2.0 M_\odot$ и $\mathfrak{M}_2=1.6 M_\odot$). На двухцветной диаграмме (U-B)-(B-V) спутник EY Ori классифицирован как звезда F0. Компоненты EY Ori на Г–Р диаграмме попадают в область гигантов и по радиусам соответствуют гигантам. Возраст компонентов EY Ori оценен в $2 \cdot 10^6$ лет и 10^6 лет и они не достигли ZAMS.

The Photoelectric Observations of Eclipsing Variable EY Orionis
 by M.M. Zakirov

An observational study of close binary system EY Ori in Great Orion Nebula has been carried out.

Photoelectric UBVR observations of EY Ori were obtained in 1976–1978 years. The individual observations in each color (200 U, 246 B, 221 V, 224 R) are listed in Table A. The new period is equal to 16.787832 . The amplitude of the variations ranges 9^m47-10^m01 V. Primary eclipse, shown to be an occultation, had a totality lasting $2^{\text{h}}4$. Solution of the V, R light curves is given in Table II. A limb darkening coefficient of $x=0.5$ was assumed for both stars. The V magnitudes and U-V, B-V and V-R are listed in Table III. A plot on the color–color diagram indicates that the secondary component is F0 star.

With $f(\mathfrak{M})=0.29$ from Struve and with the \mathfrak{M}/L relation applied only to star A, the resulting dimensions are $2.0 M_\odot$, $3.4 R_\odot$, $M_V=+0.9$ for the star A and $1.6 M_\odot$, $4.5 R_\odot$, $M_V=+0.5$ for the star F. The dimensions imply that the components are about $10^6-2 \cdot 10^6$ years old, slightly older than the Sword region ($5 \cdot 10^5$ years) presumably because of its binary nature. The components of EY Ori do not reach the theoretical ZAMS by Iben.

Введение. В предыдущей статье автора (Закиров, 1975) была получена фотографическая кривая блеска EY Ori и проведено ее предварительное исследование. Было показано, что затменная переменная EY Ori входит в большую туманность Ориона и по некоторым характеристикам родственна с уникальной двойной системой BM Ori. С целью исследования кривой блеска EY Ori и уточнения ее фотометрических элементов были поставлены фотоэлектрические наблюдения.

Наблюдения. В 1976–78 гг. были проведены фотоэлектрические наблюдения EY Ori в системе UBVR на 40-см рефлекторе Высокогорной Майданакской экспедиции АН УзССР. Измерения световых потоков проводились на фотометре со счетом фотонов (Филиппев, 1977) с рабочими диафрагмами 20", 40", 46" и временем накопления сигналов 10 сек. Звездами сравнения служили BD–5°1269 (HD 36120) и BD–5°1277 (HD 36324). Случайная ошибка одного определения блеска переменной в системе UBVR составила: $\sigma_U = \pm 0^m 032$; $\sigma_B = \pm 0^m 023$; $\sigma_V = \pm 0^m 019$ и $\sigma_R = \pm 0^m 023$. Ошибки измерения оказались несколько большими, чем при обычных фотоэлектрических наблюдениях, из-за влияния фона туманности, окружающей EY Ori (Закиров, 1975). Звездные величины звезды сравнения BD–5°1269 были взяты из работы Ли (1968) и относительно них определены значения UBVR системы EY Ori. Разность звездных величин EY Ori в моменты вне затмения по данным Ли (1968) и по нашим наблюдениям в среднем составила в U: 0.00; в B: 0.00; в V: +0.01 и в R: –0.01. Полученные поправки были учтены в наших наблюдениях EY Ori и результаты приведены в конце статьи (табл. А). Всего было получено 200 наблюдений в системе U, 246 B, 221 V и 224 R.

Новые световые элементы. Наблюдения EY Ori были обработаны по следующим световым элементам:

$$\text{Min } I_{\odot} = 2427310.420 + 16.78786 \cdot E, \quad (1)$$

где начальная эпоха взята из работы Гапошкина (1953), а период — из сообщения Анерта (1977а, б). Главный минимум EY Ori по фотоэлектрическим наблюдениям наступает при фазе 0.9984 ± 0.0001 . Улучшенные световые элементы EY Ori по результатам наших наблюдений следующие:

$$\begin{aligned} \text{Min } I_{\odot} = & 2443527.466 + 16.787832 \cdot E, \\ & \pm 0.002 \quad \pm 0.000002 \end{aligned} \quad (2)$$

Наблюденные моменты главного минимума EY Ori, приведенные в работе Анерта (1977б), были обработаны с новым периодом и составлена следующая таблица (O–C, вычислены с элементами (1), а O–C₂ — с элементами (2)):

Таблица 1

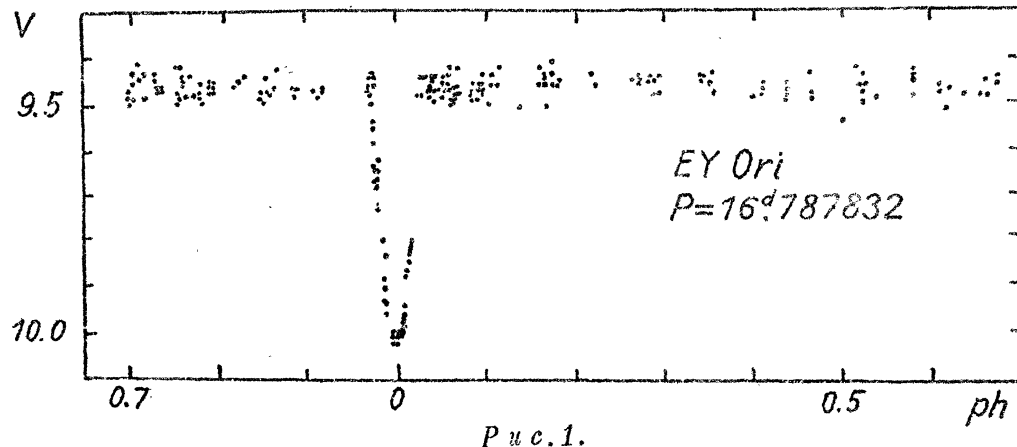
JD ₀	E ₁	(O–C) ₁	E ₂	(O–C) ₂	JD ₀	E ₁	(O–C) ₁	E ₂	(O–C) ₂
2400000+					2400000+				
26588.464	– 43	–0.078	–1008	–0.080	26605.395	–42	+0.065	–1007	+0.064
	.481	–0.061		–0.052		.420	+0.090		+0.089
	.489	–0.053		–0.054		.450	+0.120		+0.119
26605.382	– 42	+0.052	–1007	+0.051		.472		+0.142	+0.140

Таблица 1 (продолжение)

JD_{\odot}	E_1	$(O-C)_1$	E_2	$(O-C)_2$	JD_{\odot}	E_1	$(O-C)_1$	E_2	$(O-C)_2$
2400000+					2400000+				
26605.502	-42	+0.172	-1007	+0.170	38373.471	+659	-0.149	-307	-0.130
31138.121	+228	+0.069	-737	+0.075		.515	-0.105	-0.086	
35553.10	+491	-0.16	-475	-0.15	38709.481	+679	+0.104	-287	+0.123
37366.286	+599	-0.062	-367	-0.050		.512	+0.137	+0.154	
37584.621	+612	-0.031	-354	+0.048		.572	+0.195	+0.214	
37668.399	+617	-0.131	-349	-0.114	39028.557	+698	+0.211	-267	+0.230
	.421	-0.109		-0.092	39179.311	+707	-0.126	-259	-0.106
37970.506	+635	-0.205	-331	-0.188		.401	-0.036	-0.016	
	.548	-0.163		-0.146	39800.588	+744	+0.001	-221	+0.021
38088.321	+642	+0.095	-312	+0.112		.610	+0.023	+0.043	
38209.565	+654	-0.115	-312	-0.097	40673.323	+796	-0.234	-170	-0.212
	.608	-0.072		-0.054	41244.522	+830	+0.178	-135	+0.201
38373.416	+7	-0.194	-307	-0.176	42016.458	+876	-0.027	-90	-0.103

В таблице в работе Анерта (1977б) было опущено одно наблюдение (число 2432876.487), так как оно относится к фазе $0^p.55$. Сумма $(O-C)$ по Анерту составляет $-0^d.395$, а по нашим вычислениям $-0^d.127$.

Кривая блеска. Глубина главного минимума EY Ori по фотографическим наблюдениям составляет $0^m.73$ (Гапошкин, 1953), а по фотоэлектрическим $-0^m.57$ В. Амплитуда изменений блеска EY Ori в главном минимуме по данным Соловьева (1959) равна $0^m.52$ pg, что близко к нашим определениям. В визуальных лучах амплитуда в главном минимуме составляет $0^m.7$ (ОКПЗ), а по нашим определениям $-0^m.54$ V (рис. 1). Вторичный минимум EY Ori смещен относительно фазы $0^p.5$ приблизительно на $0^p.01-0^p.02$ (Лаузе, 1933, Гапошкин, 1953; Цесевич, 1954; Соловьев, 1959), причем, по наблюдениям Цесевича, в противоположную сторону, чем по данным других авторов. Нам удалось получить только одно наблюдение при фазе $0^p.500$ переменной EY Ori и поэтому судить о смещении вторичного минимума не можем.



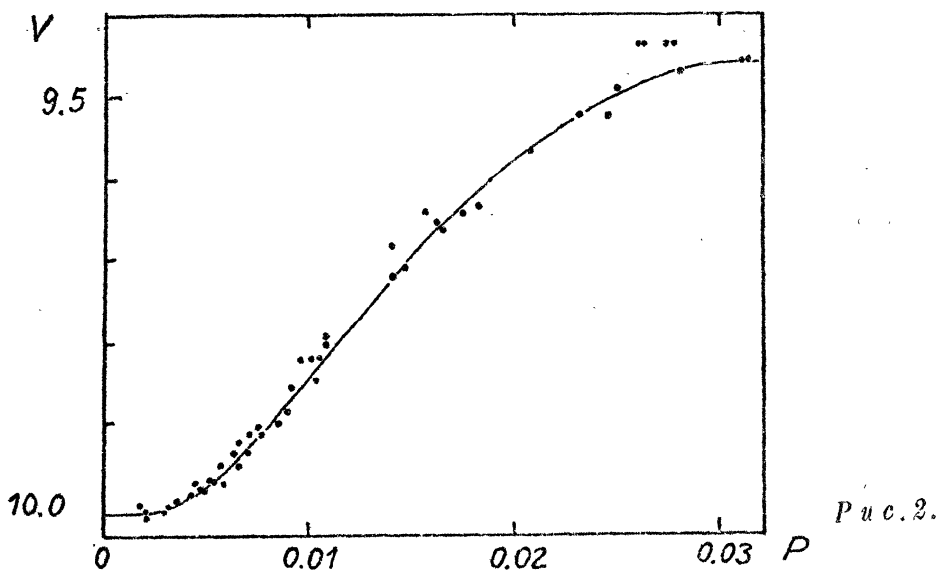
Продолжительность главного минимума (D) EY Ori по фотоэлектрическим наблюдениям ($D=0^p.056$) почти в два раза меньше, чем приведенная величина D в ОКПЗ ($D=0^p.09$). Значение D в каталоге указано по результатам многочисленных фотографических оценок Гапошкина (1953). По наблюдениям Соловьева (1959) величина $D=0^p.30$, а по оценкам автора (Закиров, 1975) $D=0^p.14$.

Нам удалось определить, что в главном минимуме EY Ori наблюдается остановка блеска системы в течение $2^h 4^m$ ($d = 0^P_{\text{003}}$). Близкое значение d можно получить и из сводной кривой блеска EY Ori по данным Гапошкина (1953). Соловьев (1959) определил $d = 0^P_{\text{000}}$, хотя по его оригинальным оценкам нет наблюдений вблизи середины главного минимума EY Ori. Фотоэлектрическая кривая блеска EY Ori в моменты вне затмения имеет постоянный блеск в пределах ошибок наблюдений. Отмеченные особенности на кривой блеска EY Ori по фотографическим оценкам автора при фотоэлектрических наблюдениях не подтвердились.

Решение кривой блеска. Отличие d от нуля указывает на то, что во время главного минимума EY Ori происходит полное затмение. Кривая блеска EY Ori не нуждается в ректификации за эффекты ограждения и эллипсоидальности компонентов системы. Орбита двойной системы эксцентрична и по кривой лучевых скоростей $e = 0.1$ и $\omega = 243^\circ$ (Струве, 1945). В момент главного минимума EY Ori скорость движения спутника близка к усредненной скорости по углу и поэтому при решении главного минимума можно считать орбиту круговой. Фотометрические элементы, полученные при решении двух кривых блеска (V и R) EY Ori методом Ресселла-Меррилла с коэффициентом потемнения к краю $x = 0.5$, даны ниже (гипотеза $B \rightarrow M$):

Параметры	V	R	VR	pg	Таблица 2.
k	0.732	0.757	0.744 ± 0.012	0.54	
r	0.108	0.108	0.108	0.13	
i	88°.6	88°.8	$88^\circ 7 \pm 0^\circ 1$	86°.6	
L	0.61	0.63		0.91	

В последнем столбце таблицы 2 приведены элементы EY Ori, полученные при решении фотографической кривой блеска (гипотеза $M \rightarrow B$) по предварительному исследованию автора (Закиров, 1975). На рис. 2 показана теоретическая кривая блеска EY Ori в главном минимуме в системе V, вычисленная по полученным фотографическим элементам системы и нанесены отдельные фотоэлектрические наблюдения. По ре-



зультатам фотоэлектрических наблюдений определены следующие фотометрические характеристики двойной системы EY Ori:

Параметр	Max	Горячий компонент	Холодный компонент
V	3 ^m 47	10 ^m 48	10 ^m 01
U-V	+1.24	+ 1.24	+ 1.24
B-V	+0.72	+ 0.68	+ 0.75
V-K	+0.69	+ 0.65	+ 0.73

Суждение газултатос. В спектре EY Ori видны линии одного компонента, принадлежащего звезде dA7 (Струве, 1945). Щернакка (1967) классифицирует спектр EY Ori как A9 на спектrogramмах, полученных с помощью объективной призмы с обратной дисперсией 450 Å/м.м. Расин (1968) относит звезду к A7V. Абт и Левато (1978) находят в спектре EY Ori признаки Am звезды. Струве (1945) указывает, что в спектре звезды не происходит заметного изменения во время главного минимума (фаза 0^p006). Согласно нашим световым элементам EY Ori, момент наблюдения Струве соответствует фазе 0^p03, при которой затмения уже не происходит (рис. 2). На двухцветной диаграмме $(U-B)_0 - (B-V)_0$ спутник EY Ori классифицируется как звезда F0. Избыток цвета главной звезды $E_{B-V} = 0^m 48$, что при нормальном законе поглощения $R = 3.2$ определяет величину $A_v = 1^m 6$. Принимая модуль расстояния ассоциации Ori I $v-M = 8.0$ (Пенстон и др., 1975), находим абсолютные величины компонентов $M_1 = +0.9 V$ и $M_2 = +0.5 V$. Из зависимости масса—светимость (Свечников, 1969) определяем массу главного компонента $\mathfrak{M}_1 = 2.0 \mathfrak{M}_\odot$. Из функции масс для EY Ori (Струве, 1945), получаем массу спутника $\mathfrak{M}_2 = 1.6 \mathfrak{M}_\odot$. Привлекая соотношение $\mathfrak{M}_1 / \mathfrak{M}_2 = a_2/a_1$ (величина $a_1 \sin i$ известна) и значения r_s и r_g , легко оценить абсолютные радиусы компонентов: $R_1 = 3.4 R_\odot$ и $R_2 = 4.5 R_\odot$. По величине радиуса компоненты EY Ori соответствуют гигантам и на Г—Р диаграмме (рис. 2) попадают в область гигантов. Отметим, что по результатам исследования затмений переменной BM Ori (Поппер, Плавец, 1976) спутник системы на Г—Р диаграмме находится вблизи ветви гигантов (рис. 3).

Звезды с массами $2.0 \mathfrak{M}_\odot$ достигают ZAMS* за время $1.0 \cdot 10^7$ лет и $1.6 \cdot 10^7$ лет (Ибен, 1965). Возраст звезд в области "мечи" Ориона оценивается в $5 \cdot 10^5$ лет (Шарплесс, 1962), что значительно меньше времени, необходимого для достижения ZAMS звезд с массами $2.0 \mathfrak{M}_\odot$ и $1.6 \mathfrak{M}_\odot$. Возраст одиночных звезд со светимостями и спектральными классами, аналогичными компонентам EY Ori, на эволюционных треках Ибена (1965) оцениваются в $2 \cdot 10^6$ лет и 10^6 лет. Перевод шкалы $M_v - (B-V)_0$ в теоретическую шкалу $L - \lg T_e$ осуществлен согласно Флюеру (1977). Ввиду отсутствия расчетов эволюции компонентов двойных систем до ZAMS мы сравнивали положения компонентов EY Ori на диаграмме с эволюцией одиночной звезды. Примем возраст компонентов EY Ori равными $2 \cdot 10^6$ лет и 10^6 лет. Звезды, подобные компонентам EY Ori за время $10^6 - 2 \cdot 10^6$ лет, рассеивают окружающую пыль.

*) ZAMS—главная последовательность нулевого возраста.—Ред.

левую оболочку и становятся доступными наблюдению в оптическом диапазоне спектра (Ларсон, 1972). В рамках этих предположений возраст спутника EY Ori оказался меньше возраста главного компонента; аналогичное обстоятельство имеет место и в случае двойной системы BM Ori (Хэлл, Гаррисон, 1969). Возможно, на ранней стадии эволюции двойной системы более массивный компонент увеличивает свою массу путем захвата вещества в системе и его эволюция ускоряется по сравнению с эволюцией спутника. Кроме того, возраст самой системы EY Ori ($10^6 - 2 \cdot 10^6$ лет) превышает оценку возраста звезд в области "меч" Ориона ($5 \cdot 10^5$ лет). Аналогичный факт отмечают Хэлл и Гаррисон (1969) при исследовании BM Ori (возраст системы превышает возраст самой Трапеции). Сэндидж (1968) установил, что энергия фрагментации во время образования группы звезд может увеличить возрасты, по сравнению с получающимся из эволюционных треков. Шарплесс (1966) показал, что данное обстоятельство имеет место для звезд Трапеции. Ссылаясь на работы Сэндиджа и Шарплесса, Хэлл и Гаррисон (1969) предполагают, что процесс фрагментации, в результате которого образовалась система BM Ori, может привести к эволюционному старению обоих компонентов. По-видимому, такое предположение можно распространить и на случай EY Ori.

Заключение. На основе наших исследований затменная переменная EY Ori является системой, компоненты которой находятся на стадии эволюции до ZAMS. По светимости и радиусу компоненты EY Ori относятся к звездам A7III и F0III, а по спектральной классификации к A7V (Струве, 1945; Расин, 1968). Возможно, линии компонентов сливаются на спектрограммах с низкой дисперсией (на спектрограммах, полученных Струве, дисперсия у Ну около 55 \AA/mm), образуя широкие линии, характерные для звезд-карликов. Струве отмечает, что на спектрограммах EY Ori, полученных вблизи фазы главного минимума, линии становятся глубже и уже. Для уверенной классификации EY Ori необходимо получить спектры с более высоким разрешением, чем на спектрограммах Струве, и определить спектральный класс спутника в момент главного минимума, когда блеск системы остается минимальным в течение $2^{\text{h}}4$. Определение кривых лучевых скоростей каждого компонента EY Ori позволило бы уточнить абсолютные характеристики системы. Для окончательных выводов о природе EY Ori нужно получить новый ряд спектральных наблюдений и построить полную фотоэлектрическую кривую блеска.

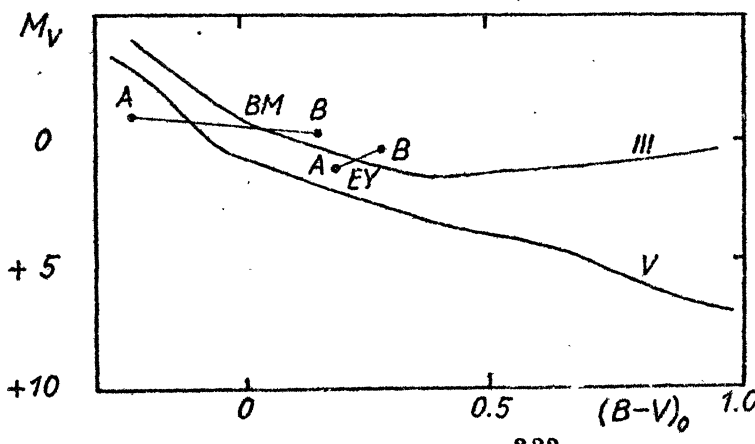


Рис. 3.

Таблица А

JD 2443...	U	B	V	R	JD 2443...	U	B	V	R
042.373		10. ^m 46		8.83	053.392		10. ^m 17		
.377	10.77		9.50	8.80	.406	10.73	10.17	9.48	8.78
.397	10.73		9.44	8.77	.415	10.74	10.19	9.50	8.79
.401	10.69	10.14	9.46	8.79	.417		10.19		
.461	10.77		9.46	8.79	.424		10.21		
.475	10.77		9.46	8.81	.444	10.74	10.20	9.49	8.79
.502		10.22	9.43	8.79	.447	10.69	10.21	9.45	8.79
043.370		10.21	9.47	8.76	.469	10.69	10.21	9.49	8.77
.386	10.72	10.18	9.45	8.76	.485	10.69	10.20	9.47	8.79
.400	10.71	10.18	9.47	8.79	053.486		10.20		
.418	10.68	10.17	9.45	8.79	.493		10.20		
.421	10.71	10.15	9.46	8.78	.501	10.70	10.20	9.47	8.81
.425	10.64	10.16	9.47	8.78	055.486	10.75	10.21	9.47	8.77
.484	10.69	10.21	9.51	8.76	.491	10.75	10.21	9.48	8.75
.491	10.64	10.16	9.45	8.78	.512	10.69	10.16	9.43	8.77
.498	10.65	10.17	9.43	8.77	.515	10.65	10.17	9.47	8.75
044.368			9.44	8.77	.516		10.17		
.443	10.69		9.46	8.79	055.364	10.22	10.22	9.46	
045.415		10.21	9.45		.365	10.71	10.18		8.82
046.466	10.63	10.19	9.46	8.79	.374	10.78			8.83
.468	10.69	10.18	9.45	8.79	.378		10.16		
.485	10.72	10.17	9.46	8.79	.392	10.64	10.20		8.75
047.387	10.65	10.15	9.49	8.78	.406	10.71		9.50	8.78
.495	10.72	10.20	9.47	8.81	.413			9.50	8.75
048.373	10.72	10.17	9.44	8.75	.415	10.70	10.15		
.440	10.69	10.22	9.48	8.75	.417		10.15		
.482	10.72	10.22	9.49	8.80	.424		10.21	9.43	8.79
049.374		10.16		8.81	.425	10.70	10.17	9.44	8.77
.380		10.21			.426		10.21		
.385		10.17			.429		10.19		
.390		10.20			.432		10.16		
.396		10.17			.451		10.17		8.78
.404	10.72	10.20	9.44	8.82	.460		10.24	9.49	8.81
.414		10.18	9.47	8.79	.489	10.75	10.22	9.48	8.77
.415		10.16			.500	10.66	10.22		8.79
.420		10.16			.504		10.19		
.426	10.70	10.20	9.50	8.77	.508		10.21		
.434		10.21			058.514		10.32	9.43	8.82
.439	10.78	10.19	9.47	8.79	.521	10.74	10.21	9.43	8.82
.448		10.21			083.317			9.49	8.79
.456		10.21			084.358	10.66	10.16	9.47	8.77
.462	10.16	9.48	8.78		.368	10.69	10.19	9.46	8.77
.463		10.18			085.350	10.64	10.16	9.46	8.77
.469	10.69	10.21		8.79	.356	10.76	10.19	9.45	8.77
050.435		10.18		8.75	086.466	10.74	10.18	9.46	8.78
.440			9.43	8.75	.501	10.69	10.18	9.45	8.78
.443	10.64	10.16	9.4	8.77	.511	10.73	10.19	9.48	8.76
.450		10.16			.522	10.69	10.18	9.47	8.77
.453	10.70	10.16	9.44	8.79	087.324	10.77	10.19	9.47	8.79
.462	10.68	10.16		8.77	.338	10.71	10.21	9.48	8.79
.474	10.67	10.19	9.48	8.79	.341	10.71	10.20	9.46	9.79
.486		10.19			.376	10.78	10.21	9.50	8.79
052.398	10.68	10.19	9.47	8.79	.486	10.74	10.21	9.48	8.80
.417	10.77	10.21	9.50	8.81	.490	10.67	10.17	9.46	8.78
.426	10.72	10.18	9.49	8.79	.497	10.72	10.20	9.47	8.79
.432	10.71	10.19	9.47	8.80	.508	10.69	10.18	9.46	8.78
.435		10.20			.515	10.76	10.21	9.48	8.79
.442		10.18			.525	10.75	10.20	9.47	8.79
.446		10.18			098.317	10.71	10.18	9.46	8.77
.456	10.68	10.19	9.45	8.81	.325	10.69	10.21	9.48	8.79
.468	10.73	10.20	9.49	8.78	.335	10.69	10.21	9.49	8.79
.472		10.24			.342	10.71	10.18	9.47	8.79
.474		10.23			099.404	10.79	10.27	9.54	8.85
.487	10.66	10.19	9.43	8.48	101.316	10.70	10.17	9.47	
.499	10.69	10.16		8.79	.320	10.76	10.23	9.51	
.507		10.19			103.350	10.70	10.21	9.48	8.81
053.368		10.17	9.43	8.79	.360	10.73	10.23	9.47	8.81
.369	10.68	10.17	9.43	8.81	105.242			9.49	
.372		10.17			.255	10.70	10.23	9.48	8.79
.385		10.17			.259	10.76	10.23	9.50	

Таблица A (продолжение)

JD 2443...	U	B	V	R	JD 2443...	U	B	V	R
105.265	10.73		9.45	8.83	527.412		10.78	10.01	9.30
.334			9.48	8.81	.424		10.76	10.02	9.31
.360	10.73	10.23	9.48	8.93	.433		10.00	10.00	9.29
.433			10.16	8.75	528.119	10.77	10.21	9.47	8.79
.447			10.21	9.46	8.82	.129	10.68	10.17	9.46
.490				9.43	8.77	.157	10.75		9.45
.517	10.77	10.21				.205	10.69	10.20	9.47
106.263	10.72	10.21	9.47	8.82		.215	10.71	10.18	9.47
.371	10.78	10.21	9.48	8.81		.254	10.79	10.20	9.47
.433	10.69	10.19	9.47	8.81		.320	10.69	10.16	9.49
107.225			9.47			.371		10.14	9.49
.233	10.64	10.16	9.45	8.78		.396			8.81
.240	10.72	10.22	9.47	8.81	532.218	10.76	10.21	9.46	8.77
.246	10.72	10.20	9.47	8.83		.243	10.64	10.18	9.46
.258	10.71	10.19	9.44	8.78		.252	10.74	10.19	9.46
.299	10.74	10.21	9.45	8.82	534.348		10.19	9.46	8.78
.302	10.71	10.21	9.48	8.81		.358		10.21	9.48
.312	10.72	10.19	9.46	8.80		.368		10.21	8.78
.349	10.78	10.26	9.50	8.84	538.161	10.73	10.19	9.48	8.76
.358	10.77	10.27	9.54	8.85		.167	10.74		
.376	10.75	10.25	9.53	8.87	545.142	10.70	10.17	9.47	8.78
.422	10.84	10.31	9.58	8.93		.175	10.67	10.18	9.45
.456			10.39	9.08		.183	10.78	10.18	9.48
.461	10.82	10.34	9.64			.238	10.72	10.19	9.47
.473		10.37	9.65	8.94		.248	10.68	10.18	9.47
.488	10.97		9.67	9.01		.290		10.19	9.47
.492			10.36			.329	10.66	10.19	9.47
.494	10.86		9.66	9.01		.336	10.71	10.18	9.47
.504	10.90	10.39	9.65	9.01	547.190	10.69	10.19	9.47	8.80
.518	10.99	10.46	9.72	9.04		.238	10.72	10.19	9.47
.529				9.69	9.05	549.188	10.71	10.18	9.46
.532	10.96	10.39	9.73	9.05		.229	10.68	10.18	9.48
108.208	10.72	10.16	9.45	8.79					8.79
.211	10.77	10.15	9.45			.252	10.69	10.18	9.45
.225			9.47	8.83		.304	10.73	10.18	9.45
.235	10.73	10.17	9.45	8.82		.344	10.69		8.79
.242	10.66	10.18	9.48	8.79	550.117	10.69	10.17	9.45	8.80
.249	10.71					.199	10.69	10.19	9.47
.407		10.17	9.47	8.80		.249	10.71	10.16	9.45
.412	10.68	10.22	9.45	8.85		.296	10.74		8.79
.418	10.65	10.22	9.47	8.83	555.191	10.75	10.20	9.48	8.79
.427	10.65	10.15	9.48	8.79		.245	10.70	10.19	9.46
109.228	10.65		9.48			.300	10.77	10.22	9.48
.235	10.74	10.22	9.47	8.79	556.167	10.70	10.20	9.46	8.79
.242		10.23	9.49	8.81		.233	10.68	10.19	9.45
.260	10.77	10.22	9.46			.286	10.73	10.18	9.49
.322	10.77			8.80	557.122	10.72	10.18	9.47	8.80
.340	10.73	10.21	9.49	8.80		.195	10.71	10.17	9.45
.343	10.69	10.21	9.45	8.81		.267	10.73	10.14	9.48
.385		10.19	9.47	8.81	558.129	10.72	10.19	9.47	8.78
.408	10.76	10.22	9.46	8.78		.191	10.74	10.18	9.46
.425	10.69	10.17	9.47	8.83		.258	10.75	10.17	9.45
.434		10.18	9.47		561.099	11.22	10.76	10.01	9.28
.440		10.14	9.44	8.76		.107	11.24	10.77	10.00
110.354	10.76		9.51			.116	11.25	10.76	9.25
150.168	10.72	10.22	9.45	8.79		.123	11.30	10.76	9.99
155.201	10.74	10.22	9.53	8.82		.129	11.24	10.76	9.99
526.150	10.71			9.47	8.78	.137	11.24	10.76	9.98
527.282	11.04	10.45	9.80	9.11		.146	11.22	10.76	9.98
.290	11.09	10.57	9.83	9.14		.156		10.76	9.96
.315	11.17	10.60	9.88	9.17		.165	11.19	10.74	9.94
.320	11.18	10.63	9.91	9.16		.190		10.66	9.88
.328	11.17	10.67	9.92	9.19		.197		10.63	9.87
.343	11.15			9.92	9.22	.204	11.18	10.60	9.83
.350		10.69	9.93	9.23		.210	11.03	10.60	9.83
.365	11.20	10.70	9.95	9.24		.219		10.57	9.09
.379	11.30	10.77	10.03	9.29		.228	11.07	10.53	9.81
.388	11.24	10.76	10.01	9.29		.243	10.89	10.52	9.81
.396	11.32	10.77	10.00	9.29					9.08

Литература

- Абт, Левато, 1978 -- Abt H.A., Levato H., PASP **89**, 797.
Анерт, 1977а -- Ahnert P., IBVS no. 1150.
Анерт, 1977б -- Ahnert P., MVS **7**, 165.
Бернакка, 1967 -- Barnacca P.L., Asiago Contr. no. 195, 1.
Гапошкин, 1953 -- Gaposkin S., HA **113**, no. 2.
Закиров М.М., 1975, ПЗ **20**, 199.
Ибен, 1965 -- Iben I., ApJ **141**, 993.
Ларсон, 1972 -- Larson R., MNRAS **157**, 121.
Лаузе, 1933 -- Lause von Fr., AN **250**, 13.
Ли, 1968 -- Lee T.Y. A., ApJ **152**, 913.
Пенстон и др., 1975 -- Penston M.V., Hunter J.K., O'Neill A., MNRAS **171**, 219.
Поппер, Плавец, 1976 -- Popper D.M., Plaveč M., ApJ **205**, 462.
Расиг, 1968 -- Racine R., AJ **73**, 233.
Свечников М.А., 1969, "Каталог орбитальных элементов, масс и светимостей тесных двойных звезд", Свердловск.
Соловьев А.В., 1959, Бюлл. ин-та астрофизики АН ТаджССР, № 28, 17.
Струве, 1945 -- Struve O., ApJ **102**, 74.
Сэндидж, 1958 -- Sandage A., "Stellar Populations", Amsterdam, 149.
Филиппьев Г.К., 1978, ПЗ **20**, № 6, 597.
Флоуэр, 1977 -- Flower P.J., Astr. & Aph. **54**, 31.
Хэлл, Гаррисон, 1969 -- Hall D.S., Garrison L.M., PASP **81**, 771.
Цесевич В.П., 1954, Изв. Одесск. обс. **4**, 253.
Шарплесс, 1962 -- Sharpless S., ApJ **136**, 767.
Шарплесс, 1966 -- Sharpless S., Vistas in Astronomy **8**, 127.

Астрономический институт
АН УзССР

Поступила в редакцию
1 сентября 1978 г.